



hkhosro56@yahoo.com :

۰/۶>x>۰

$\text{Ba}_{1-x}\text{K}_x\text{BiO}_\gamma$

فونونی مورد توجه فراوانی قرار گرفته است زیرا اثر مشابهی در دیگر ترکیبات ابررسانایی مانند MgB_6 [۳] و $\text{Ba}_{1-x}\text{K}_x\text{BiO}_\gamma$ (BKBO) [۴] که نقش برهم‌کنش الکترون-فونون در ایجاد حالت ابررسانایی آنها مشخص است، مشاهده شده است. این تشابه می‌تواند به تفسیر این اثر در ابررساناهای اکسید مسی کمک کند.

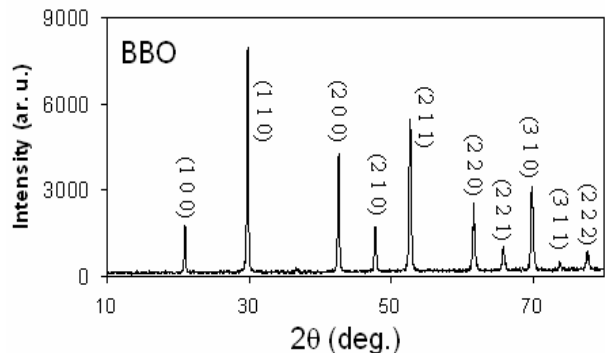
سیستم BBO که یک ترکیب عایق است با آلایش پتانسیم به حالت ابررسانایی با دمای گذار بهینه $K = 32$ گذار می‌کند. این ترکیب دارای برهکنش قوی الکترون-فونون در حالت‌های مختلف عایق و ابررسانایی است. مطالعه نوارهای فونونی با

یکی از مسائل جالب ابررسانایی دمای بالا در ترکیبات اکسید مسی نقش برهم‌کنش الکترون-فونون در ایجاد حالت ابررسانایی در این ترکیبات است. شواهد آزمایشی اخیر از قبیل وجود زانو در نوارهای الکترونی [۱]، نرم شدگی ناهنجار مدهای فونونی مربوط به اکسیژن در صفحات اکسید مسی [۲]، و اثر ناهنجار ایزوتوب نشانده‌نده وجود برهم‌کنش قوی الکترون-فونون در این ترکیبات است. اگرچه به دلیل ساختار الکترونی و نمودار حالت پیچیده این ترکیبات هنوز نقش این برهم‌کنش به درستی مشخص نشده است. نرم شدگی ناهنجار

ساختار بلوری و مقدار پتاسیم ترکیب انجام شد. آزمایش پراکنده‌گی ناکشسان پرتو ایکس در خط پرتو BL²⁵XU در مرکز شتابدهنده اسپیرینگ-۸ انجام شد [۵]. تک بلورهای مکعبی شکل با اندازه $mm^{0/3}$ در هر بعد در راستای بلوری $(1,0,0)$ جهت یابی شده‌اند. برای اندازه‌گیری بیشترین شدت، تکانه پراکنده‌گی فونون $(3+q,0,0)$ انتخاب شد. به منظور بهینه کردن قدرت تفکیک پذیری در انرژی، صفحات مختلف $Si(9,9,9)$ ، $Si(11,11,11)$ و $Si(8,8,8)$ (به ترتیب معادل $4,6$ و $3,1,5$ meV) در تکفام‌کننده‌ها و تحلیلگرهای (monochromator & analyzer) استفاده شد. برای بررسی اثر دما در کاهش پهنای قله‌ها این آزمایش برای نمونه BBO در دمای اتاق و $K = 10$ انجام شد.

در هر سری از رشد، نمونه‌هایی با ابعاد متفاوت $0/5-0/1 mm$ رشد داده شده‌اند. نمونه‌های با ابعاد $0/3 mm$ دارای بیشترین کیفیت بوده و در آزمایش‌های دیگر استفاده شده‌اند. نتایج آزمایش‌های تفرق پرتو ایکس پودری نشان می‌دهد که نمونه‌های رشد داده شده با روش فوق دارای ترکیب شیمیایی BKBO است و ترکیب‌های ناخواسته تشکیل نشده است. شکل ۱ یک نمونه نوعی از نتایج این آزمایش را نشان می‌دهد. تقارن بلوری و کوچک بودن پهنای قله‌های آزمایش لاؤه نیز نشان می‌دهد که تک بلورها دارای کیفیت کافی برای آزمایش‌های حساس پراکنده‌گی ناکشسان پرتو ایکس هستند. مقدار پتاسیم در هر نمونه از مقایسه ثابت شبکه بلوری تعیین شده توسط این آنالیزها با دادهای استاندارد [۶] تعیین شده است. دقیق این آزمایش $\text{Å} \pm 0/003$ در مقدار ثابت شبکه و معادل $\pm 0/02$ در مقدار x می‌باشد. به دلیل کوچک بودن اندازه نمونه‌ها اندازه‌گیری مقاومت الکتریکی و مغناطیس‌سنجی اسکوئید تنها برای تعدادی از نمونه‌ها قابل انجام بوده است. برای تعیین ابررسانا یا عایق بودن دیگر نمونه‌ها از نمودار حالت آنها و با توجه به مقدار x تعیین شده‌اند [۶].

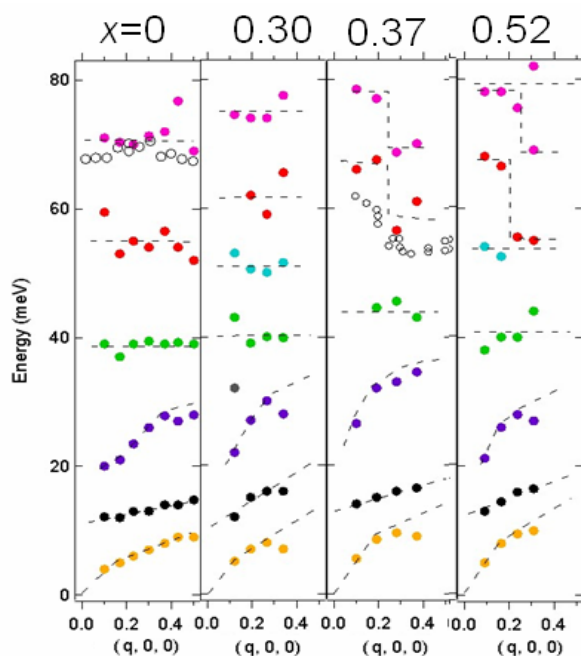
شکل ۲ یک نمودار نوعی از نتایج اندازه‌گیری پراکنده‌گی



شکل ۱. تفرق پرتو ایکس پودری برای سیستم BBO. اعداد اندیس‌های میلر مربوط به قله متناظر را نشان می‌دهد.

روش پراکنده‌گی ناکشسان نوترن یک نرم شدگی قوی در نمونه ابررسانای $BKBO(x=0/4)$ را نشان می‌دهد، در حالی که در نمونه عایق اثری از آن دیده نمی‌شود. به دلیل فقدان نمونه‌های تک بلور با کیفیت بالا و بزرگ برای مقادیر میانی x امکان تعیین نوارهای فونونی و بررسی دقیق این نرم شدگی با این روش امکان پذیر نیست. در این مطالعه روش پراکنده‌گی ناکشسان پرتو ایکس برای اولین بار برای بررسی نوارهای فونونی و نحوه نرم شدگی آنها در سیستم BKBO با افزایش مقدار پتاسیم و به خصوص در نزدیکی گذار عایق- ابررسانا استفاده شده است.

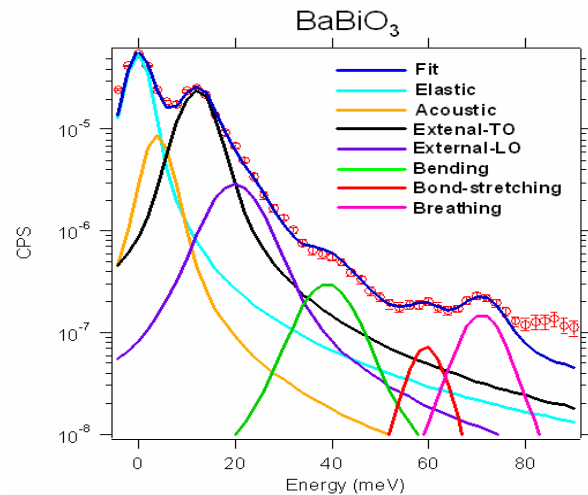
شکل ۲ یک نمونه نوعی از نتایج این آزمایش را نشان می‌دهد. تک بلور سیستم BBO با روش جریان شاره (Flux flow) از پودرهای Bi_2O_3 و $BaCO_3$ (خلوص $99/9\%$) و تک بلورهای Bi_2O_3 و $Ba(OH)_2 \cdot 8H_2O$ (خلوص $99/9\%$) رشد داده شدند. مخلوط پودرها در دمای 290°C در اتمسفر N_2 ذوب شده و توسط یک همزن مغناطیسی در فرآیند رشد یکنواخت شدند. اختلاف پتانسیل الکتریکی مستقیم و ثابت 600 meV به دو الکترود وارد شده در مخلوط پودرها و به مدت دو هفته اعمال شد. با تغییر نسبت وزنی پودرهای اولیه تک بلورهایی با مقادیر مختلفی از x رشد داده شد. سپس آزمایش‌های تفرق پرتو ایکس پودری و لاؤه برای تعیین میزان کیفیت بلورها،



شکل ۳. نوارهای فونونی ترکیب BKBO در راستای $(1, 0, 0)$ به ازای مقادیر متفاوتی از x در دمای اتاق. دایره‌های تو پر داده‌های به دست آمده از برآذش طیف‌های پراکندگی ناکشسان پرتو ایکس در مقایسه با داده‌های پراکندگی ناکشسان نوترون (تو خالی) [۴] را نشان می‌دهد. خطوط برای راهنمایی چشم ترسیم شده‌اند.

مطالعه‌های قبلی پراکندگی ناکشسان نوترون برای نمونه‌های مشابه است.

مشاهده می‌شود که با افزایش مقدار پتانسیم در ترکیب نوارهای با انرژی کمتر از 80 meV تغییر چندانی نمی‌کنند. در حالی که برای دو نوار فونونی با انرژی بالا دو تغییر مهم مشاهده می‌شود: افزایش انرژی نوارها در مقادیر کوچک q با افزایش مقدار x و کاهش ناگهانی و سریع انرژی نوارها در مقادیر میانی q و تنها برای نمونه‌های ابررسانا. این نوارها با افزایش مقدار q در نمونه‌های عایق تقریباً ثابت می‌مانند. این تغییر ناگهانی انرژی در مقادیر میانی q بزرگ و کاملاً ناهمجارت است. نظریه‌های معمول برهم‌کنش الکترون-فونون قادر به توضیح این اثر نیستند. نکته جالب دیگر این نرم شدگی فونونی، ناپیوستگی آن در گذار عایق-ابرسانا است به طوری که این نرم شدگی تنها برای نمونه‌های ابررسانا اتفاق می‌افتد. این مطلب نشان از وجود یک برهم‌کنش الکترون-فونون قوی در



شکل ۲. نمودار پراکندگی ناکشسان پرتو ایکس تک بلور BBO در $q = 0$. نقاط داده‌های تجربی، خطوط زیر منحنی برآذش داده‌های تجربی با تابع شبه وایگت برای هر قله، و خط روی داده‌ها نتیجه کلی برآذش را نشان می‌دهد.

ناکشسان پرتو ایکس ترکیب BBO در دمای اتاق و $q = 0$ را نشان می‌دهد. آزمایش‌ها نشان می‌دهند که کاهش دما تأثیر قابل ملاحظه‌ای در طیف‌ها ندارد. خطوط نتایج برآذش داده‌های تجربی با تعدادی تابع شبه وایگت (pseudo-voigt)، یک ترکیب خطی توابع گاوی و لورنتز) را نشان می‌دهد. قله موجود در انرژی صفر پراکندگی کشسان و قله‌های دیگر مدهای آکوستیکی و اپتیکی فونون‌ها را نشان می‌دهد. مکان قله‌ها انرژی مدهای فونونی را نشان می‌دهد. مدهای فونونی از مقایسه انرژی آنها با نتایج محاسباتی تعیین شده‌اند. شدت داده‌های به دست آمده در انرژی‌های بالاتر از 80 meV در حد زمینه طیف بوده و از برآذش حذف شده‌اند.

شکل ۳ پراکندگی نوارهای فونونی سیستم BKBO را به ازای مقادیر متفاوت x و q در دمای اتاق و در راستای $(1, 0, 0)$ نشان می‌دهد. دو نمونه $x = 0/0$ و $x = 0/30$ در ناحیه عایق نمودار حالت و دو نمونه $x = 0/37$ و $x = 0/52$ در ناحیه ترکیبات ابررسانا قرار می‌گیرند [۶]. ۶ نوار فونونی در این سیستم مشاهده می‌شود که ۵ نوار آنها مربوط به ترکیب ایده‌آل BKBO و نوار حدود 40 meV به ناجابه‌جایی‌های موجود در نمونه‌ها نسبت داده می‌شود. این نتایج در همخوانی با نتایج

آزمایش پراکندگی ناکشسان پرتو ایکس برای تک بلورهای عایق و ابررسانای سیستم BKBO انجام شد. در نوارهای فونونی با انرژی بالا یک افزایش انرژی در تکانه‌های کوچک و یک کاهش بزرگ و ناهنجار در مقایر میانی q و تنها برای نمونه‌های ابررسانا مشاهده می‌شود. این اثر ناهنجار به برهم‌کنش قوی الکترون-فونون نسبت داده شده که حالت ابررسانایی را ایجاد می‌کند. از مشابهت این رفتار در ترکیبات مختلف ابررسانایی پیشنهاد شده است که نرم شدگی مشابه در ترکیبات ابررساناهای اکسید مسی نیز به دلیل برهم‌کنش قوی الکترون-فونون و نشانده‌نده نقش این برهم‌کنش در ایجاد حالت ابررسانایی در این ترکیبات است.

این مطالعه با پشتیبانی انجمن ارتقای علمی ژاپن (JSPS) انجام شده است.

ترکیباتی است که در مقادیر پایین‌تر از دمای گذارشان به حالت ابررسانایی گذار می‌کنند.

این نرم شدگی ناهنجار در مطالعه پراکندگی ناکشسان نوترن برای نمونه ابررسانا دیده شده بود [۴]، اما نحوه بستگی آن به مقدار پتانسیم تعیین نشده بود. به علاوه نرم شدگی مشابهی در دیگر ترکیبات ابررسانایی مانند ابررساناهای دمای بالای اکسید مسی [۲] و MgB_2 [۳] مشاهده شده است که وجود یک پدیده مشترک در ترکیبات مختلف ابررسانایی را نشان می‌دهد. اگرچه در ترکیبات ابررسانایی اکسید مسی به دلیل وجود برهم‌کنش‌های قوی الکترونی و حالت معناطیسی ترکیب پایه آنها ارتباط این نرم شدگی به برهم‌کنش مستقیم الکترون-فونون و یا نقش الکترون-فونون در ایجاد حالت ابررسانایی مشکل است، اما از مشابهت وجود این پدیده در ترکیبات $BKBO$ و MgB_2 می‌توان به اهمیت ارتباط پدیده نرم شدگی فونونی با ابررسانایی آگاه شد.

4. M Braden, W Reichardt, W Schmidbauer, A S Ivanov and A Yu Rumiantsev, *J. Superconductivity* **8** (1995) 595.
5. A Q R Baron, Y Tanaka, S Goto, K Takeshita, T Matsushita and T Ishikawa, *J. Phys. Chem. Soli.* **61** (2000) 461.
6. S Pei, J D Jorgensen, B Dabrowski, D G Hinks, D R Richards, A W Mitchell, J M Newsam, S K Sinha, D Vaknin and A J Jacobson, *Phys. Rev. B* **41** (1990) 4126.

1. A Lanzara, P V Bogdanov, X J Zhou, S A Kellar, D L Feng, E D Lu, T Yoshida, H Eisaki, A Fujimori, K Kishio, J-I Shimoyama, T Nodak, S Uchida, Z Hussain and Z-X Shen, *Nature*, **412** (2001) 510.
2. D Reznik, L Pintschovius, M Ito, S Iikubo, M Sato, H Goka, M Fujita, K Yamada, G D Gu and J M Tranquada, *Nature*, **440** (2006) 1170.
3. A Q R Baron, H Uchiyama, Y Tanaka, S Tsutsui, D Ishikawa, S Lee, R Haid, K P Bohnen, S Tajima and T Ishikawa, *Phys. Rev. Lett.* **92** (2004) 197004.